

<b>Zeitschrift:</b>	Schweizerische Bauzeitung
<b>Herausgeber:</b>	Verlags-AG der akademischen technischen Vereine
<b>Band:</b>	123/124 (1944)
<b>Heft:</b>	8
<b>Artikel:</b>	Erfahrungen aus dem Betrieb der Wärmepumpen-Heizung im Rathaus von Zürich
<b>Autor:</b>	Egli, Max
<b>DOI:</b>	<a href="https://doi.org/10.5169/seals-53888">https://doi.org/10.5169/seals-53888</a>

### **Nutzungsbedingungen**

Die ETH-Bibliothek ist die Anbieterin der digitalisierten Zeitschriften auf E-Periodica. Sie besitzt keine Urheberrechte an den Zeitschriften und ist nicht verantwortlich für deren Inhalte. Die Rechte liegen in der Regel bei den Herausgebern beziehungsweise den externen Rechteinhabern. Das Veröffentlichen von Bildern in Print- und Online-Publikationen sowie auf Social Media-Kanälen oder Webseiten ist nur mit vorheriger Genehmigung der Rechteinhaber erlaubt. [Mehr erfahren](#)

### **Conditions d'utilisation**

L'ETH Library est le fournisseur des revues numérisées. Elle ne détient aucun droit d'auteur sur les revues et n'est pas responsable de leur contenu. En règle générale, les droits sont détenus par les éditeurs ou les détenteurs de droits externes. La reproduction d'images dans des publications imprimées ou en ligne ainsi que sur des canaux de médias sociaux ou des sites web n'est autorisée qu'avec l'accord préalable des détenteurs des droits. [En savoir plus](#)

### **Terms of use**

The ETH Library is the provider of the digitised journals. It does not own any copyrights to the journals and is not responsible for their content. The rights usually lie with the publishers or the external rights holders. Publishing images in print and online publications, as well as on social media channels or websites, is only permitted with the prior consent of the rights holders. [Find out more](#)

**Download PDF:** 22.02.2026

**ETH-Bibliothek Zürich, E-Periodica, <https://www.e-periodica.ch>**

INHALT: Erfahrungen aus dem Betrieb der Wärmepumpen-Heizung im Rathaus von Zürich. — Eine grosszügige nationale Siedlungs-Aktion. — Eine Ostschweizer Seengruppe in Gefahr. — Fragen des Flugzeug-Starts. — Zwei friedliche militärische Holzbauten. — Mitteilungen: Motorische und physikalische Untersuchungen über das Wesen des Klopfvorganges.

Schweizer. Vereinigung für Landesplanung. Versuche mit Stahlbeton-schwellen bei der Deutschen Reichsbahn. Autostrasse Bern-Lausanne. Schmiermittel im Baugewerbe. Persönliches. - Nekrologe: Jacques Tschudy. Dr. Ing. Stefan Bryla. — Literatur. — Vortrags-Kalender.

## Erfahrungen aus dem Betrieb der Wärmepumpen-Heizung im Rathaus von Zürich

Von Dipl. Ing. MAX EGLI, Zürich

Nachdem die Wärmepumpenheizung im Rathaus von Zürich<sup>1)</sup> bereits fünf Winter in Betrieb gestanden hat und die sich dauernd verschärfenden Auswirkungen des Kriegszustandes die Grenzen der Betriebsicherstellung gefeuerter Heizanlagen immer deutlicher vor Augen führen, dürfte die Bekanntgabe einiger betriebstechnischer Erfahrungen der 1937 erbauten Musteranlage wünschenswert erscheinen, um insbesondere das Studium weiterer Anlagen zu erleichtern und die Zuverlässigkeit der Projektierung zu erhöhen. Vor allem ist es wichtig zu wissen, ob die seinerzeit mangels Vorliegen entsprechender Messresultate getroffenen Annahmen mit den nachträglich ermittelten Tatsachen übereinstimmen und ob die auf den verwendeten Grundlagen aufgebaute Rechnungen ihre Bestätigung erfahren haben. Zwar haben die früheren Veröffentlichungen über diese Anlage gezeigt, dass die bereits vor ihrer Erstellung vorhandenen Erkenntnisse aus dem Gebiete des Kältemaschinenbaus schon recht zuverlässige Berechnungen ermöglichen; in zwei Punkten waren diese jedoch nicht eindeutig festgelegt, nämlich in Bezug auf den Verlauf der Limmatwassertemperatur in Abhängigkeit von der Aussentemperatur und über das Zusammenspiel der Wärmepumpenheizung für die Deckung der Grundlast und der Elektro-speicherheizung für die Deckung der Spitzenlast.

Wie der oben angeführten Veröffentlichung zu entnehmen ist, handelt es sich bei der Wärmepumpenanlage des Rathauses in Zürich um eine Kaltdampfmaschine mit Rotationskolbenkompressor von einer Wärmeleistung am Verflüssigeraustritt von rund 60 000 kcal/h bei 5° C Flusswassertemperatur, wobei sie bei diesem Betriebszustand bei einer Heizwassertemperatur von 60° C am Vorlauf, die einer Aussentemperatur von -20° C entspricht, 40 kW an den Klemmen aufnimmt. Als Wärmeträger wird dabei Dichlordifluormethan, auch als Freon 12 oder Frigen bezeichnet, verwendet, eine ölartige Flüssigkeit mit einer Verdampfungswärme von 37 kcal/kg bei 0° C. Verdampfer und Verflüssiger sind als Röhrenwärmeaustauscher ausgebildet, wobei die Flusswasser- und Heizungswasserzirkulation durch gesonderte Umwälzpumpen bewerkstellt wird. Die Arbeitsweise der Wärmepumpe ist intermittierend mit in Funktion der Aussen-temperatur vollautomatisch gesteuerter Regulierung. Diese Wärmepumpe deckt die Grundlast des Wärmebedarfes, während die Lastspitzen von einem Elektropeicher mit 6,5 m<sup>3</sup> Inhalt, gebaut für einen Betriebsdruck von 10 atü und indirekte Wärmeabgabe im Nachwärmeverfahren an das Heizwasser übernommen werden. Seine Speicherleistung beträgt somit rund 600 000 kcal und die Wärmeabgabe bis zu 150 000 kcal/h. Laden und Entladen des Speichers erfolgen automatisch so, dass eine interne Wasserzirkulation beim Laden durch Schliessen von Klappen und beim Entladen durch deren Öffnen nach Massgabe des Temperaturreckganges des Speicherwassers hervorgerufen wird. Die Ladeleistung ist in zwei Stufen von 30 kW und 35 kW aufgeteilt, wobei die kleinere Lade-stufe bei Lauf der Wärmepumpe selbsttätig aus- und bei Stillstand eingeschaltet wird. Die maximale Heizleistung der Maschinenkom-bination beträgt deshalb bei tiefster Flusswassertemperatur rund 200 000 kcal/h.

### I. Die Limmatwassertemperatur

Die verhältnismässig kalten Winter 1939/40, 1940/41 und 1941/42 haben vor allem gezeigt, dass die Auffassung, die Temperatur des Limmatwassers sinkt als Folge der Charakteristik des spezifischen Gewichtes des Wassers in Abhän-

gigkeit seiner Temperatur nicht unter 4° C und die Annahme der linearen Abhängigkeit der Limmatwassertemperatur von der fort-schreitenden Gradtagzahl mit dem ermittelten Sachverhalt nicht übereinstimmt. Die niedrigste Limmatwassertemperatur wurde 1939/40 mit 2,8° C, 1940/41 mit 1,6° C und 1941/42 sogar mit 1,2° C gemessen. Dabei ist zu erwähnen, dass die für den Winter 1941/42 angeführte Temperatur nicht die Folge gleichmässig fortschreitender Abkühlung ist, sondern einen einmaligen Augenblickswert darstellt, der sich am 26. März 1942 als Folge eines plötzlichen Sonnenscheindurchbruchs durch die über Zürich lagernde Dunstschicht von der Dauer nur weniger Stunden ergab. Er ist auf die dadurch einsetzende, umfangreiche Bildung von Schmelzwasser des längs der Limmat gelegenen, teils mit Schnee bedeckten, teils mit Eis überzogenen Geländes und der Vermischung dieses Schmelzwassers mit dem Limmatwasser zurückzuführen, wobei das spezifisch leichtere Schmelzwasser von der Einmündung in das Limmatwasser bis zur Messtelle im Rathaus nicht genügend Zeit fand, sich mit dem Limmatwasser zu mischen oder seine Wärme mit ihm auszugleichen. Überdies ist nicht nachgewiesen, ob nicht zu gleicher Zeit umfangreiche Schnee- und Eisabfuhr in den unteren Teil des Zürichsees stattfanden, die gleichfalls mithalfen, die Limmatwassertemperatur abzu-senken. Es war für den erwähnten Temperaturabfall charak-teristisch, dass er sich von 1,5° C geradezu sprunghaft einstellte und ebenso sprunghaft wieder verschwand. Obwohl die kurze Dauer und der singuläre Charakter der Erscheinung nahelegen, von der Festsetzung dieses Einzelwertes als Grenzwert einer kontinuierlichen Temperaturentwicklung abzusehen, ist es emp-fehlenswert, derartigen Vorkommnissen auch in Zukunft die gebührende Aufmerksamkeit zu schenken, und es wäre zu begrüs-sen, wenn sich die zuständigen Stellen dieser Frage mit der nötigen Gründlichkeit annehmen könnten.

Abb. 1 stellt ein Temperaturdiagramm des Jahres 1938 dar. Auf der Abszissenaxe sind die Tage des Jahres in chronologischer Reihenfolge, auf der Ordinatenaxe die zugeordneten Tempera-turen in °C aufgetragen. Der Linienzug *a* stellt den Verlauf der mittleren Tagestemperatur von Zürich auf Grund der Mes-sungen der Meteorologischen Zentralanstalt dar. Die Linie *b* zeigt den Verlauf der Temperatur des Zürichsees in geringer Wassertiefe am Bürkliplatz, also an seinem Ende gemessen, wo-bei ein Teil der Kurve wegen Defekten der Messeinrichtung fehlt. Die Temperaturänderungen sind infolge der Sonnenbestrahlung der Wasseroberfläche relativ gross und folgen den Aenderungen der Temperatur der Aussenluft mit geringer Verspätung. Es ist gleichfalls deutlich erkennbar, dass die Wassertemperatur wäh-rend der Periode der zunehmenden Winterstrenge im allgemeinen stets niedriger, während derjenigen der abnehmenden Winterstrenge dagegen stets höher als die mittlere Aussentemperatur

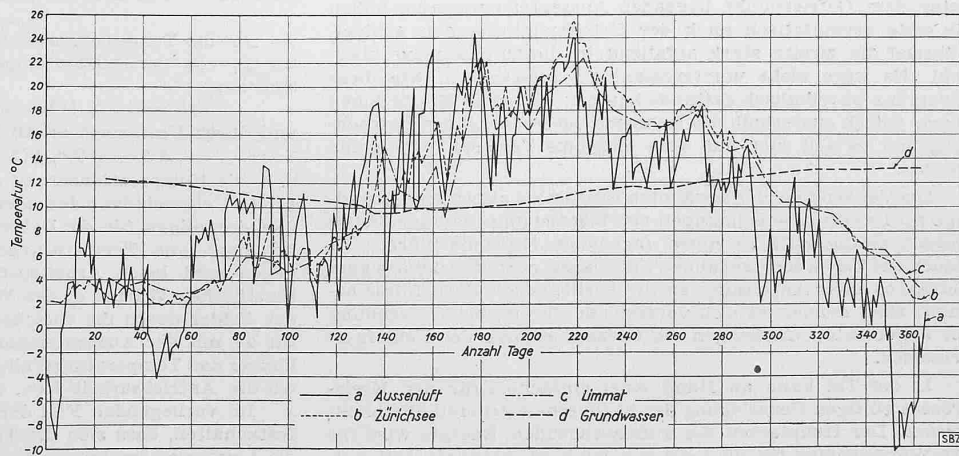


Abb. 1. Chronologische Temperaturkurven von Zürich, 1938

<sup>1)</sup> M. Egli, Die Wärmepumpen-Heizung im Rathaus von Zürich, «Schweiz. Bauzeitung», Bd. 116, S. 59 u. 73 (Aug. 1940); ferner Bd. 111, S. 212; Bd. 114, S. 12\* (1939).

ist. Ferner sind die Ausschläge der Wassertemperatur als Folge des Rauminhaltes und der offenen Oberfläche des Zürichsees während der ersten Jahreshälfte wesentlich grösser als während der zweiten. Linienzug *c* zeigt den Verlauf der Wassertemperatur beim Hardhof, also am Ausfluss der Limmat aus der Stadt, auf Grund einer einmaligen Messung pro Woche. Auch hier sind die Temperaturschwankungen der ersten Jahreshälfte grösser als diejenigen der zweiten und auch diese Temperatur folgt den Schwankungen der Aussentemperatur mit der ihr eigenen Ver-spätung. Dabei liegt die Limmatwassertemperatur im Sommer unterhalb, im Winter oberhalb der Zürichseewassertemperatur. Ganz anders dagegen verhält sich die durch Kurve *d* dargestellte Temperatur des Grundwassers. Sie weist keine kurzperiodigen Schwankungen auf, sondern ändert sich gleichmässig von ungefähr  $10^{\circ}\text{C}$  im Vorsommer auf  $13^{\circ}\text{C}$  im Vorwinter. In Bezug auf die Temperatur würde sich deshalb Grundwasser für den Betrieb einer Wärmepumpe für Raumheizung mit ihrer ausgesprochenen Winterbelastung wesentlich besser eignen als Flusswasser; dagegen sind seiner Verwendung wegen des sehr grossen Wasserbedarfes der Wärmepumpenbetriebe ganz allgemein Grenzen gesetzt, wenn berücksichtigt wird, dass für die Ersetzung eines Kilogramms Kohle nahezu eine halbe Tonne Grundwasser nötig ist.

Das Diagramm zeigt deutlich, dass die Temperaturschwankungen sowohl der Aussenluft als auch des Zürichsee- und des Limmatwassers so gross und unregelmässig sind, dass die unmittelbare Verwendung dieser Messergebnisse als Berechnungsgrundlagen ohne gewisses Ordnen der Werte nicht zweckmässig ist. Für die Aussentemperatur geschieht dies in bekannter Weise derart, dass immer die nächst höhere Temperatur in gleicher Richtung fortschreitend neben die nächst tiefere gereiht wird. Diese Ordnung führt in Abb. 2 zu der als Gradtagkurve bezeichneten Häufigkeitskurve *a*. Werden die dieser Aussentemperaturkurve zugeordneten Zürichsee- oder Limmatwassertemperaturen aufgetragen, so ergibt sich ein unverwendbares Streufeld, obgleich mit Ausnahme der, den unter dem Gefrierpunkt liegenden Aussentemperaturen zugeordneten Wassertemperaturen die Streuung ziemlich regelmässig um die Aussentemperaturkurve angeordnet ist. Werden jedoch die Wassertemperaturen ohne Zuordnung zu den entsprechenden Aussentemperaturen aufgetragen, so entsteht eine der Häufigkeitskurve der Aussentemperatur ähnliche Kurve *b* für die Wassertemperatur des Zürichsees und die Kurve *c* für diejenige der Limmat. Dabei kann festgestellt werden, dass die Kurve der Wassertemperatur des Zürichsees leicht oberhalb derjenigen der Wassertemperatur der Limmat verläuft, was auf die vermehrte Einwirkung der Sonnenbestrahlung auf das Zürichseewasser zurückzuführen ist. Von besonderem Interesse ist jedoch die Erkenntnis, dass die Temperaturkurve des Limmatwassers mit Ausnahme des Bereiches der unterhalb des Gefrierpunktes liegenden Aussentemperaturen mindestens während der besonders interessierenden Dauer der Heizperiode nahezu vollständig mit der Kurve der Aussentemperatur zusammenfällt. In der Tat ergibt die rechnerische Ermittlung der Jahresmittel für die Temperatur des Limmatwassers einen um nur  $0,9^{\circ}\text{C}$  höheren Wert als derjenige der Aussentemperatur. Dagegen ist die Abweichung der Temperatur des Zürichseewassers von derjenigen der Aussenluft, wie schon aus dem Diagramm ersichtlich, merkbar grösser, ohne jedoch generell einen andern Verlauf aufzuweisen. Ein bedeutender Unterschied zwischen Limmatwasser- und Aussentemperatur besteht jedoch, wie bereits erwähnt, im Gebiet der bei und unter dem Gefrierpunkt liegenden Aussentemperaturen, indem die erste asymptotisch nach der Gefrierpunktgeraden abbiegt, während die zweite stark abfallend in die Ordinatenaxe übergeht. Es wäre nicht uninteressant zu untersuchen, wie diese Divergenz physikalisch zustande kommt; derartige Erwägungen liegen jedoch ausserhalb des Rahmens der vorliegenden Betrachtung und es soll hier nur vom Ergebnis Vormerk genommen werden.

Die Verwendung der erwähnten Kurven als allgemeine Grundlage für Leistungsberechnungen von Wärmepumpenanlagen muss deshalb zwangsläufig zu einem ungenauen Ergebnis führen; da jedoch zur Zeit weder genauere Unterlagen noch zweckmässigere Verfahren ihrer Anpassung an die vorliegenden Bedürfnisse bekannt sind, handelt es sich vorerst nur darum, bei Verwendung der angeführten Unterlagen die Grössenordnung des Fehlers zu ermessen.

In der Tat kann an Hand einer einfachen, für den Kreisprozess gültigen Ueberlegung der Sachverhalt generell überblickt werden. Der Hauptanteil der aufzuwendenden Energie wird bei der Wärmepumpe für die Leistung der Kompressionsarbeit aufgebraucht. Dabei gilt für den Fall der adiabatischen Kompression

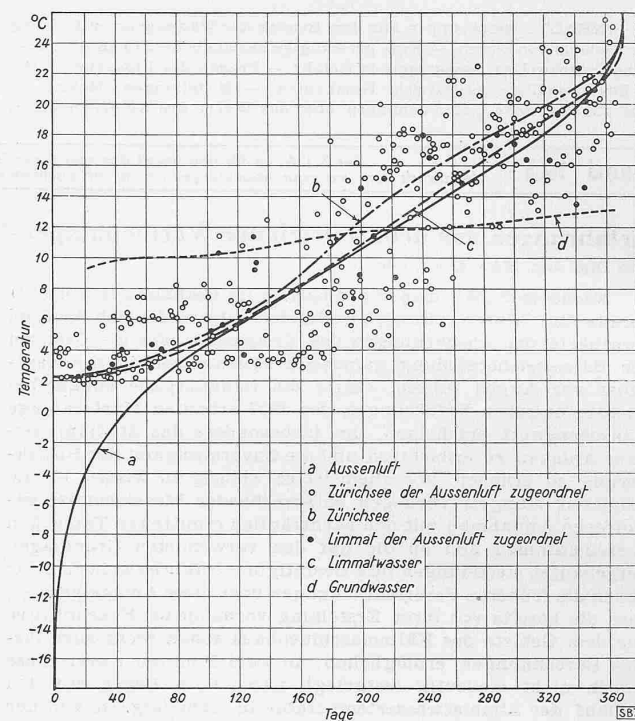


Abb. 2. Temperatur-Häufigkeiten für Zürich, 1938

$$AL = \varphi G c_p (T_v - T_L)$$

wo  $G$  das umgewandelte Gewicht des Wärmeträgers und  $c_p$  seine spezifische Wärme bei konstantem Druck darstellen, wobei die Vorlauftemperatur des Zentralheizungswassers als  $T_v$  und die Limmatwassertemperatur als  $T_L$ , und  $\varphi$  als Verhältniszahl zwischen der effektiven und der erforderlichen Temperaturerhöhung bei der Kompression bezeichnet werden sollen. Ferner gilt für die von den Heizflächen abzugebende Wärme, die bei Wärmegleichgewicht gleich dem Wärmeverlust des zu heizenden Gebäudes ist

$$Q = F_G k_G (T_i - T_a) = F_R k_R (T_i - T_v)$$

worin  $F_G$  und  $k_G$  Fläche und Wärmeübergangszahl des Gebäudes,  $F_R$  und  $k_R$  die entsprechenden Werte der Heizflächen darstellen. Dabei werde der Einfachheit halber die Vorlauftemperatur  $T_v$  an Stelle der mittleren Heizflächentemperatur gesetzt und  $k_G$  und  $k_R$ , die Funktionen der Temperaturdifferenzen sind, als konstant angenommen. Daraus ermittelt sich die Vorlauftemperatur  $T_v$  zu

$$T_v = \left(1 - \frac{F_G k_G}{F_R k_R}\right) (T_i - \frac{F_G k_G}{F_R k_R} T_a)$$

$$\text{Wird zur Abkürzung } \varphi = \frac{F_G k_G}{F_R k_R}$$

gesetzt, so erhält man  $T_v = (1 - \varphi) T_i + \varphi T_a$  und dieser Wert in der Antriebsarbeit  $AL$  eingesetzt ergibt

$$AL = \varphi G c_p [(1 - \varphi) T_i + \varphi T_a - T_L]$$

Wird nun entsprechend den früheren Ausführungen vorausgesetzt, die Limmatwassertemperatur verlaufe mit Ausnahme der kältesten Winterperiode parallel der Aussentemperatur, so kann für diesen Bereich gesetzt werden

$$T_L = T_a \pm \Delta T$$

wo  $\Delta T$  die Temperaturabweichung der Limmatwassertemperatur  $T_L$  von der Aussentemperatur  $T_a$  darstellt. Daraus ergibt sich nun

$$AL = \varphi G c_p [(1 - \varphi) T_i + \varphi T_a - (T_a \mp \Delta T)]$$

und durch Umformen erhält man

$$AL = \varphi G c_p [(1 - \varphi) (T_i - T_a) \pm \Delta T]$$

d. h. die Kompressionsarbeit setzt sich zusammen aus der Arbeit für die Ueberwindung des eigentlichen Temperaturgefälles  $T_i - T_a$  und derjenigen für die Ueberwindung der Abweichung  $\Delta T$ , wobei diese vom Temperaturgefälle  $T_i - T_a$  unabhängig ist. Dagegen sind beide Arbeitsbeträge in gleicher Masse von der spezifischen Wärme  $c_p$  des Wärmeträgers abhängig. Somit wird der Fehler durch die Gleichsetzung der Limmatwassertemperatur  $T_L$  mit der Aussentemperatur  $T_a$  umso grösser ausfallen, je kleiner das Temperaturgefälle ist; er ist somit dort am kleinsten, wo die Antriebsarbeit bzw. der Wärmebedarf am grössten ist.

Im vorliegenden Fall der Rathausanlage ist vorerst einmal festzuhalten, dass sich die Temperaturkurve des Zürichsees für die Leistungsberechnung für an der Limmat gelegene Wärmepumpenanlagen nicht eignet und von der Temperaturkurve des

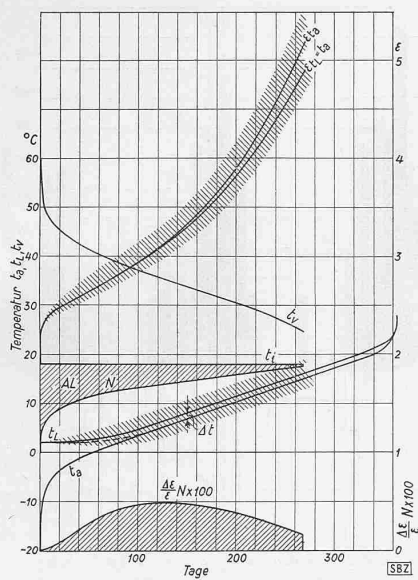


Abb. 3. Leistungsdiagramm  
 $t_a$  = Aussentemperatur,  $t_L$  = Limmatwasser-temperatur,  $t_v$  = Heizwasser-Vorlauf-temperatur,  $\varepsilon$  = Leistungsziffer

Limmatwassers für diesen Zweck nur der der Dauer der Heizperiode entsprechende Teil verwendet und die Abnahme der Streuung gegen die tiefste Temperatur gebührend berücksichtigt werden muss. Unter diesen Voraussetzungen ergibt sich an Hand der ermittelten Zahlenwerte, dass die mittlere Limmatwasser-temperatur  $1,2^\circ\text{C}$  höher als die mittlere Aussentemperatur liegt und dass die durchschnittl. Abweichung der Limmatwassertemperatur von der Mittelwertkurve  $2,9^\circ\text{C}$  beträgt. Wird dementsprechend das Leistungsdiagramm für die Kurve der tatsächlichen und die der Aussentemperatur  $T_a$  gleichgesetzte Limmatwassertemperatur entsprechend Abb. 3 aufgestellt, so ist schon aus der sich daraus ergebenden geringen Verschiebung der Leistungszifferkurve  $\varepsilon$  unschwer der untergeordnete Einfluss auf das Leistungsdiagramm zu erkennen. Dieser Sachverhalt ist zu einem Teil die Folge des Umstandes, dass die Limmatwasser-temperatur im Gebiete der niedrigen Aussentemperaturen, wie bereits erwähnt, die geringsten Schwankungen aufweist, und zum andern Teil das Ergebnis der mit der Abnahme der Aussentemperatur  $T_a$  zunehmenden Temperaturdifferenz  $T_v - T_a$ . Wird ferner das Gebiet der Streuung der der Aussentemperatur zugeordneten Limmatwassertemperatur im Leistungsdiagramm als durch die durchschnittliche Abweichung begrenzte Zone einge-tragen und die entsprechende Zone im Gebiet der Leistungszifferkurve ermittelt, so kann das Ausmass der durch diese Streuung zu erwartenden Genauigkeit einer Leistungsbestimmung ungefähr abgeschätzt werden. Dabei ist dem Umstand Rechnung zu tragen, dass den Punkten der Häufigkeitskurve der Limmatwassertemperatur  $c$ , die durch die Streuung eine Leistungsziffererhöhung erfahren, stets Punkte gegenüber gesetzt werden können, die eine entsprechende Leistungsziffererniedrigung aufweisen. Infolge der Verlustleistungen der Wärmepumpen ist zwar der Ausgleich kein vollständiger; da jedoch die zahlenmässige Ermittlung der sich daraus ergebenden Verschiebung dieser Durchschnittswerte nicht ohne, eine allgemein gültige Erkenntnis einschränkende Annahmen durchgeführt werden kann, soll vorerst auf ein weiteres Eingehen auf diese eher verwickelten Verhältnisse verzichtet werden. Wird deshalb an Hand der beiden Leistungszifferkurven  $\varepsilon_{t_L}$  und  $\varepsilon_{t_L} = t_a$  die Veränderung der gesamten Antriebsarbeit nicht auf Grund der erläuterten, theoretischen Ueberlegung, sondern der Messwerte ermittelt, so entsteht mit  $N$  als Wert für die Antriebsleistung die Kurve  $\frac{d\varepsilon}{\varepsilon} N$ , wodurch der Verlauf des Fehlers festgelegt ist und ein Maximalwert nach Ablauf etwa der Hälfte der Heiztage festgestellt werden kann. Der zahlenmässige Mittelwert des Fehlers unter Berücksichtigung der für die Wärmepumpenanlage des Rathauses gültigen Unterlagen kann zu rund  $1,5\%$  ermittelt werden. Daraus geht hervor, dass mangels Kenntnis der Flusswassertemperaturkurve die Aussentemperaturkurve ohne besondere Gefahr, dadurch ein zu fehlerhaftes Ergebnis zu erhalten, zu Hilfe gezogen werden kann. Dagegen sei nochmals daran erinnert, dass sich vorliegende Ableitung auf eine spezielle Anlage bezieht und eine allgemeine Behandlung des ganzen Fragenkomplexes noch fehlt,

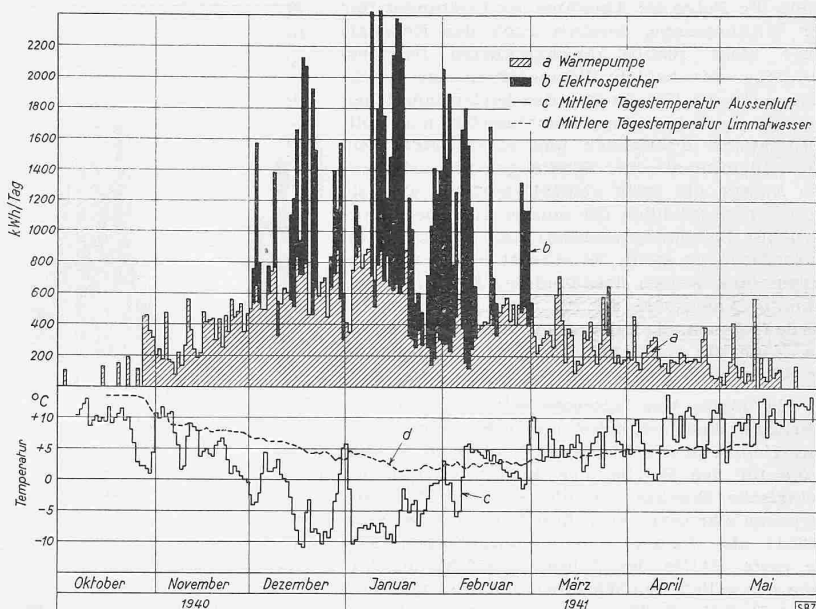


Abb. 4. Täglicher Energieverbrauch für Rathaus-Wärmepumpe und -Elektrospeicher

jedoch sehr wünschenswert wäre. Die vorliegenden Ueberlegungen sind deshalb nur als Wegleitung für die Behandlung von Wärmepumpenanlagen für Raumheizzwecke gedacht, bis darüber einmal eine umfassendere Literatur zur Verfügung steht<sup>2)</sup>.

## II. Verbundbetrieb von Wärmepumpe und Elektrospeicher

Bei der Deckung des Wärmebedarfes der Raumheizung durch Elektrizität stellt sich der Verwirklichung der Projekte stets die Divergenz zwischen der Leistungsverteilung des Wärmebedarfes und derjenigen der Energieerzeugung hinderlich entgegen, fällt doch die kälteste Jahreszeit mit ihrem grössten Heizwärmebedarf mit der Periode der geringsten Energieerzeugung zusammen. Dabei geht aus Abb. 3 eindeutig hervor, dass nur während fünfzig Tagen des Jahres die Hälfte der maximalen Heizleistung für die Deckung des Wärmebedarfes nicht ausreichen und mit  $\frac{2}{3}$  der maximalen Heizleistung sogar der Wärmebedarf aller mit Ausnahme von vier Tagen gedeckt werden könnte. Es ist deshalb naheliegend, für die Deckung des Wärmebedarfs der wenigen, ausgesprochen kalten Tage des Jahres Heizeinrichtungen zu verwenden, die selbst bei relativ höherem Arbeits- oder Wärmeaufwand im Verhältnis zur Wärmelieferung geringe Anschaffungskosten verursachen. Diese Spitzendarstellung des Wärmebedarfs ist nun für ein Rathaus mit seinem Spitzeneinsatz noch wesentlich ausgeprägter als für ein Wohn- oder Geschäftshaus, und aus diesem Grunde ist die Deckung des Spitzeneinsatzes des zürcherischen Rathauses durch Elektrospeicher verwirklicht worden. Es scheint deshalb für zukünftige Projekte von Wert, Klarheit über die verschiedenen Auswirkungen einer derartigen Kombination zu erhalten.

In Abb. 4 sind die Energieverbrauchszahlen dieser Anlage für Wärmepumpe und Elektrospeicher in chronologischer Anordnung aufgetragen, wobei die Energiemengen des Elektrospeichers auf diejenigen der Wärmepumpe aufgesetzt worden sind. Im unteren Teil des Diagramms sind die Temperaturen der Aussenluft und des Limmatwassers als Tagesmittel aufgeführt. Dabei ist für die Beurteilung der Verhältnisse dem bereits verschiedentlich erwähnten Umstand Rechnung zu tragen, dass die Räume nur für und während ihrer Benützung geheizt werden, und der Umfang der Benützung stark von der Intensität des Sitzungsbetriebes abhängt. Es geht aber aus dem Diagramm deutlich hervor, dass sich der Betrieb des Elektrospeichers für den Energielieferanten durch scharf ausgeprägten Spitzeneinsatz mit stark unterschiedlicher Belastung bemerkbar macht. Zwar sind die Anschlusswerte von  $35\text{ kW}$  für die Wärmepumpe und  $65\text{ kW}$  für den Elektrospeicher Leistungen, die in einem Energieversorgungsgebiet von der Grösse der Stadt Zürich keine besonders fühlbaren Auswirkungen nach sich ziehen, aber eine derartig zackige Gliederung des Belastungsdiagramms ist für den Energielieferanten trotzdem unerwünscht. Es ist gleichfalls ersichtlich, dass die Leistung der Wärmepumpe bei Erreichen der tiefsten Limmatwassertemperatur bei niedrigster Aussentemperatur stark abfällt, was sich durch entsprechende Leistungszunahme des Elektrospeichers bemerkbar macht. Dieser Sachverhalt ist nicht

<sup>2)</sup> Vgl. unter «Literatur» auf Seite 97. Red.

allein die Folge der Abnahme der Leistungsziffer der Wärmepumpe, sondern auch das Ergebnis einer nicht restlos durchgeföhrten Betriebs trennung der beiden Wärmeerzeugungseinrichtungen. In der Tat ist von den beiden möglichen Ausführungsarten einer kombinierten und vollautomatisch arbeitenden Anlage die erste gewählt worden, weil sie an das hauptsächlich für andere Aufgaben beanspruchte Bedienungspersonal das Minimum an Anforderungen stellt. Es scheint jedoch wichtig, darauf hinzuweisen, dass in allen Fällen, in denen erhöhte Ansprüche an die Bedienung gestellt werden können, die halbautomatische Ausführung die Nachteile der gegenseitigen Beeinflussung der Wärmelieferung vermeidet.

Es dürfte von Interesse sein, über die Erfahrungen einer möglichst langen Betriebsperiode unterrichtet zu sein. Zu diesem Zweck sind in Abb. 5 die für den Betrieb der Anlage verbrauchte elektrische Energie und die mit ihrer Hilfe abgegebene Wärmemenge während der Betriebsjahre 1938/41 als Monatsleistungen aufgetragen. Für die erste Hälfte des Jahres 1938 fehlt die Angabe der gelieferten Wärmemenge, weil während dieser Periode die Messapparatur noch nicht genügend genau eingespielt war; die jedoch im Laufe dieser Betriebszeit ermittelten Energiebeträge hätten ohnehin keine zuverlässigen Schlussfolgerungen in Bezug auf die allgemeinen Betriebsverhältnisse zu ziehen erlaubt, weil sie in die Zeit vor der Uebergabe des Gebäudes an seine normale Zweckbestimmung, also in die Periode des Umbaus, fielen. Aus diesem Diagramm ist ersichtlich, dass sich der Betrieb erwartungsgemäss mit guter Regelmässigkeit entwickelt und die Energiebezüge des Elektrospeichers mit jedem Jahr zurückgehen. Beide Ergebnisse sind auf die zunehmende Vertrautheit des Betriebspersonals mit der Anlage zurückzuföhren, die insbesondere für den Betrieb des Elektrospeichers von besonderer Wichtigkeit ist, weil es sich mit der Zeit die Erfahrung zu eignen machen muss, den Wärmebedarf eines Sitzungsbetriebes für die verschiedenen klimatischen Bedingungen möglichst zuverlässig vorauszubestimmen. Eine Speicherladung ist nämlich nur dann richtig eingeschätzt, wenn der Speicher am Ende der Sitzung vollständig entladen ist, ansonst Speicherenergie an Stelle von Wärmepumpenenergie verbraucht werden muss, was den Gesamt-Energieverbrauch erhöht. Dem Diagramm ist ferner zu entnehmen, dass das Verhältnis der verbrauchten Wärmepumpenenergie zur Speicherenergie von demjenigen der abgegebenen Wärmepumpenwärme zur Speicherwärme wesentlich verschieden ist. Dabei ist auch hier wieder zu erwähnen, dass der Elektrospeicher ausschliesslich für den Spitzentrieb bestimmt ist, während die Wärmepumpe für die Deckung der Heizungsbedürfnisse der übrigen, bei üblicher Arbeitszeit beschäftigten Verwaltungszweige (einschliesslich des an diese Heizanlage angeschlossenen Rathaus-Polizeipostens) dient. Da somit die grossen Wärmebedürfnisse hauptsächlich vom Speicher getragen werden müssen, muss auch sein Anteil am gesamten Wärmeverbrauch verhältnismässig gross ausfallen. Nebenbei ist zu erwähnen, dass die während der Sommermonate verbrauchten Energiemengen ausschliesslich durch den Betrieb der Lüftungsanlage verursacht werden. Die im unteren Teil des Diagramms aufgetragenen Monatsmittel der Aussen- und Limmatwasser-temperaturen erklären die Veränderungen der Energieverbrauchsmengen als Folge der Witterungsänderungen und lassen die Uebereinstimmung der niedrigsten Aussenstemperatur mit dem grössten Energieverbrauch deutlich erkennen. Vor allem kann festgestellt werden, dass infolge grösserer Beeinflussung des Temperaturgefälles in erster Linie die Aussenstemperatur, nicht die Limmatwassertemperatur den Energieverbrauch bestimmt.

In Abb. 6 ist nun die gegenseitige Abhängigkeit von Elektrospeicher und Wärmepumpe ausführlicher dargestellt, wobei sich die Frage nach der vorteilhaftesten Aufteilung der Wärmelieferung zwischen Wärmepumpe und Elektrospeicher stellt. Dabei geht aus dem Grundgesetz von der Erhaltung der Energie hervor, dass im Gegensatz zur Kältemaschine die Leistungsziffer  $\varepsilon$  einer Wärmepumpe immer grösser als 1 ist, eine analoge Verhältnisziffer für den Elektrospeicher dagegen stets gleich 1 sein muss. Jede Kombination von Wärmepumpe und Elektrospeicher wird deshalb eine über 1 liegende, durchschnittliche Leistungsziffer aufweisen müssen und zwar wird sie um so grösser sein, je grösser der Anteil der durch die Wärmepumpe abgege-

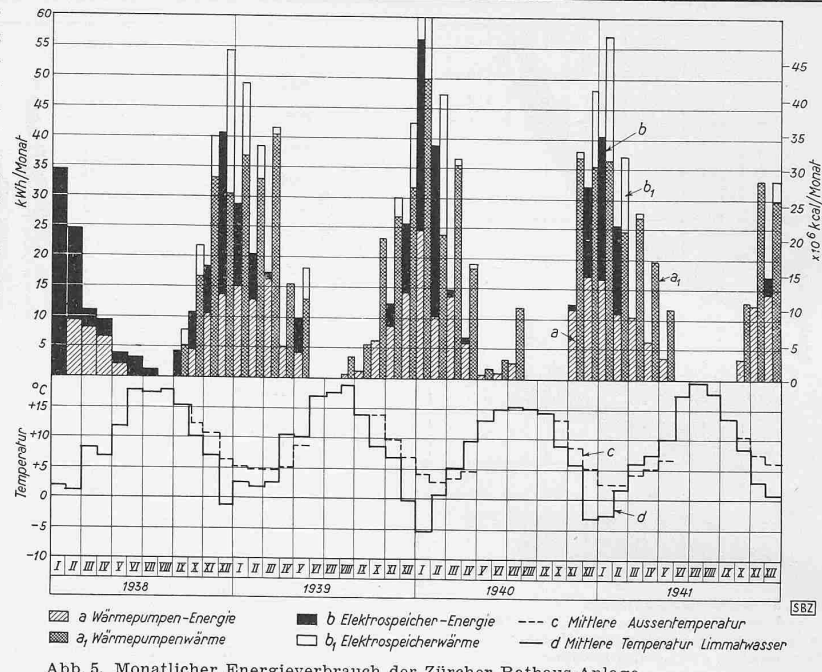


Abb. 5. Monatlicher Energieverbrauch der Zürcher Rathaus-Anlage

benen Wärme im Verhältnis zur Gesamtwärme ist. Darnach hätte der Energieleverant Interesse, die Leistung der Wärmepumpe auf Kosten derjenigen des Elektrospeichers möglichst gross zu wählen, während der Energiekonsument diese Leistung so weit zu reduzieren sucht, als ihm dadurch eine möglichst hohe Betriebstundenzahl sichergestellt ist. Da der Energieleverant aber nicht nur an einer möglichst hohen Leistungsziffer, sondern in ebensolchem Masse an einem möglichst niedrigen elektrischen Anschlusswert interessiert ist, erhebt sich die Frage, ob die Vorteile der besseren Leistungsziffer einer reinen Wärmepumpenheizung nicht unter Umständen durch diejenigen eines niedrigeren Anschlusswertes einer Verbundheizung kompensiert werden könnten. Derartige Aussichten bieten in der Tat alle Heizanlagen mit periodisch variablem Wärmebedarf, wie z. B. das vorliegende Objekt eines Rathauses mit seinem mehr oder weniger regelmässigen Sitzungsbetrieb. Aber auch andere Gebäude, wie Verwaltungs- und Geschäftshäuser mit ihrer normalen Heizbelastung während der üblichen Arbeitszeit und der geringen Belastung während der übrigen Zeit des Tages, oder selbst gewöhnliche Wohnhäuser mit ihrem herabgesetzten Heizbetrieb während der Nachtzeit, weisen eine derartige Betriebscharakteristik auf. Für solche Heizanlagen soll deshalb der Verlauf der verschiedenen Energiewerte ermittelt werden.

Bedeutet  $Q_{\text{tot}}$  den stündlichen Wärmebedarf für eine bestimmte Belastung von Wärmepumpe und Elektrospeicher zusammen,  $Q_W$  die entsprechende Wärmemenge der Wärmepumpe und  $Q_E$  diejenige des Elektrospeichers, so gilt

$$Q_{\text{tot}} = Q_W + Q_E$$

Für die Kombination Wärmepumpe-Elektrospeicher gilt nun vermittelst der Beziehung

$$z_l Q_E_l = z_e Q_E_e$$

wobei  $z_l$  die Ladezeit,  $Q_E_l$  die Ladeleistung in kcal/h,  $z_e$  die Entladezeit und  $Q_E_e$  die Entladeleistung des Elektrospeichers darstellen, gegenüber einer ausschliesslichen Wärmepumpenheizung gleicher Wärmelieferung mit entsprechender Antriebsleistung  $N'$  und Leistungsziffer  $\varepsilon'$

$$860 \varepsilon' N' = 860 \varepsilon N + \frac{z_l}{z_e} Q_E_l$$

Unter der Voraussetzung, dass

$$\varepsilon = \varepsilon'$$

sei, was für die vorliegenden Ansprüche an Genauigkeit zutrifft, wird die aufzuwendende Antriebsenergie bzw. Wärme nur dann für beide Anlagen gleich, wenn

$$\varepsilon = \frac{z_l}{z_e}$$

ist, d. h. wenn das Verhältnis der Lade- zur Entladezeit gleich gross ist wie die Leistungsziffer.

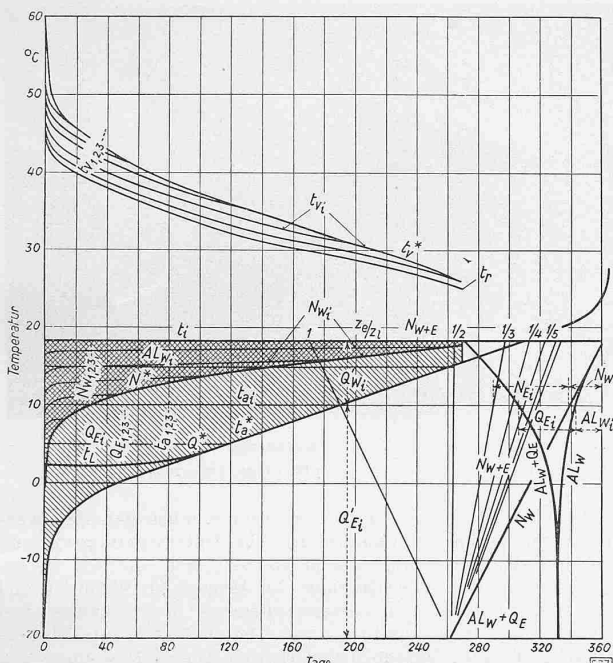


Abb. 6. Leistungsdiagramm, Wärmepumpe + Elektrospeicher

Allgemein gilt, dass wenn

$$\frac{z_l}{z_e} \leq \varepsilon$$

ist,

$$N' \leq N + \frac{Q_{E_l}}{860} \text{ wird.}$$

Das heisst, der elektrische Anschlusswert einer ausschliesslichen Wärmepumpenheizung ist gegenüber demjenigen einer Kombination von Wärmepumpe und Elektrospeicher gleicher Leistung nur dann kleiner, wenn das Verhältnis der Lade- zur Entladearbeit kleiner ist als die Leistungsziffer der Wärmepumpe.

In Abb. 6 ist wiederum wie früher der Verlauf der Aussen-temperatur, der Innentemperatur, der Limmatwassertemperatur und daraus abgeleitet Vor- und Rücklauftemperatur des Zentral-heizungswassers ihren zu- bzw. abnehmenden Werten nach aufgetragen. An Hand dieser Beziehungen kann wiederum in bekannter Weise die zugeordnete Kurve der Antriebsleistung ermittelt werden. Wird nun vorausgesetzt, dass in einer kombinierten Anlage die Grundlast des Wärmebedarfs durch die Wärmepumpe und die verbleibende Spitzenlast durch den Elektrospeicher gedeckt werde, wobei die Leistungsaufteilung derart vollzogen wird, dass die Wärmepumpe bis zu einer bestimmten Aussen-temperatur die gesamte Wärmemenge aufbringt, während die Nachwärmung des Heizungswassers im Elektrospeicher derart stattfindet, dass die Temperaturdifferenz zwischen Vor- und Rücklauf des Zentralheizungswassers nach Massgabe der Leistungsanteile aufgeteilt wird, so wird durch Variieren des Leistungsverhältnisses zwischen Wärmepumpe und Elektrospeicher eine Schar horizontaler Temperaturgerader  $t_{a1, 2, 3, \dots}$  erhalten, der für das Zentralheizungswasser eine Schar Vorlauf-temperaturen  $t_{v1, 2, 3, \dots}$  entspricht. Diese beiden Kurvenscharen ermöglichen die Ermittlung einer dritten Kurvenschar, nämlich derjenigen der Antriebsleistungen der Wärmepumpen für die verschiedenen Lastverteilungen  $Nw_{1, 2, 3, \dots}$ . Die Flächeninhalte zwischen der Geraden der Innentemperatur  $t_i$  und den einzelnen Leistungskurven  $Nw_{1, 2, 3, \dots}$  stellen nun die verschiedenen Antriebsarbeiten und diejenigen zwischen der Innentemperatur  $t_i$  und den Temperaturgeraden  $t_{a1, 2, 3, \dots}$  die dadurch erzielten Wärmemengen der Wärmepumpe während einer ganzen Heizperiode dar, wogegen die Flächeninhalte zwischen den Temperaturgeraden  $t_{a1, 2, 3, \dots}$  und der Aussen-temperatur  $t_a^*$  die während der Heizperiode abgegebenen Wärmemengen des Elektrospeichers darstellen. Wird nun die während einer Heizperiode aufgewendete Energie als Summe der Antriebsarbeit der Wärmepumpe und der Elektrospeicherwärme den verschiedenen Leistungsverhältnissen zugeordnet aufgetragen, so entsteht daraus die Kurve  $AL_w + QE$ , die den Verlauf der Antriebsenergie einer kombinierten Wärmepumpen-Elektrospeicherheizung in Funktion sämtlicher möglichen Leistungsverhältnisse darstellt. Ihr Ver-

lauf zeigt, dass die Antriebsenergie mit zunehmender Temperaturdifferenz zwischen Innen- und Außentemperatur bis auf  $0^\circ\text{C}$  stark abnimmt, während sie für den verbleibenden Teil des Verlaufs nahezu konstant bleibt. Im gleichen Diagramm sind ebenfalls die zugeordneten Antriebsleistungen für Wärmepumpe und Elektrospeicher eingetragen, wobei ersichtlich ist, dass für den vorliegenden Leistungszifferverlauf alle Werte für  $\frac{z_e}{z_l} \lesssim \frac{1}{2}$  einen

### III. Allgemeines

III. Angenommen  
Die bis heute verflossenen fünf Betriebsjahre haben gezeigt, dass eine Wärmepumpenanlage nicht nur ebenso leicht, sondern wesentlich leichter zu handhaben ist als eine gefeuerte Heizanlage. Darüber hinaus hat sowohl die Wärmepumpe als auch der Elektrospeicher den Vorteil, dass die entsprechenden thermischen Wirkungsgrade bei allen Betriebsverhältnissen 1 betragen, der Betrieb als Heizeinrichtung also unter allen Umständen verlustlos verläuft. Bei Betriebsaufnahme solcher Anlagen ist es wichtig, die verschiedenen Kontrollinstrumente wie Thermometer, Manometer, Flüssigkeitstände usf. regelmäßig zu überprüfen; mit der Zeit ist es möglich, die richtige Arbeitsweise der Maschine aus ihrem Geräusch zu beurteilen. Sorgfältige Überwachung der Anlagen ist eigentlich nur bei tiefsten Wasser-temperaturen nötig, während der übrigen Zeit können sie ebenso wie Kühlshränke sich selbst überlassen werden. Dabei hat eine Wärmepumpe den Vorteil, dass sie besonders während der Übergangszeit, während der sich der Betrieb einer Feuerungsanlage wegen des schlechten Wirkungsgrades bei schwacher Belastung noch nicht lohnt, mit besonders geringer Antriebsenergie arbeitet. Auch in Bezug auf die Betriebsdauer gestaltet sich der Betrieb selbst für kürzeste Betriebsperioden ebenso vorteilhaft wie ein elektrischer Heizkörper, z. B. bei Heizbetrieb von nur ein paar Stunden am Morgen oder am Abend.

Die Erziehung eines befriedigenden Betriebes eines Elektro-speichers ist nur an die eine Bedingung des einwandfreien Zu-standes der Isolation gebunden. Dieses Aggregat wird übrigens bei grösseren Anlagen unter die Ueberwachungspflicht des Vereins Schweizerischer Dampfkesselbesitzer fallen, womit die Beachtung eines zweckmässigen Unterhaltes zwangsläufig gewähr-leistet ist.

## Eine grosszügige nationale Siedlungs-Aktion durch Gründung der «Hans Bernhard-Stiftung»

Im Lauf der letzten 100 Jahre hat sich unser Land aus einem Agrar- zu einem Industrie-Staat entwickelt. Als Folge davon nahm die an sich natürliche Abwanderung vom Land in die Stadt ein Ausmass an, das nur mit dem Begriff Landflucht charakterisiert werden kann. So wuchs einerseits der städtische Bevölkerungsanteil seit der Mitte des letzten Jahrhunderts von 6 auf über 30 %, während gleichzeitig die bäuerliche Bevölkerung von rd. 50 auf 21 % zurückging. Noch klarer als mit den Verhältniszahlen offenbart sich diese Bevölkerungsbewegung, wenn man sich vorstellt, dass in einem Zeitraum von 25 Jahren mehr als 25 000 landwirtschaftliche Betriebe von der Bildfläche verschwanden; mit anderen Worten ist also jedes Jahr ein stattliches schweizerisches Bauendorf mit über 1000 Landwirtschaftsbetrieben untergegangen.

Trotz dieser schreckhaft wachsenden Gefahr sowohl für die Garantierung eines gesunden Nachwuchses als auch für die Sicherung unserer Nahrungsmittelproduktion gelang es nicht, der Landflucht Einhalt zu gebieten. Selbst die Krisenjahre, während denen in den Städten durchschnittlich 70 000 Arbeitslose unterstützt werden mussten, wurden nicht dazu verwendet, um der Landwirtschaft die fehlenden 60 000 Arbeitskräfte zur Verfügung zu stellen und die Ackerfläche wieder auf die früheren 300 000 ha auszudehnen.

Erst die Not der gegenwärtigen Kriegszeit führte das Denken unseres Volkes wieder zum Boden zurück und stellte die Notwendigkeit und Bedeutung einer gesunden und leistungsfähigen Landwirtschaft klar vor Augen. Mit der Durchführung des Planes Wahlen wurden von Volk und Behörden grösste Anstrengungen unternommen, um unsere Nahrungsmittelversorgung möglichst selbstgenügend zu gestalten. Mit letzter Hin-